

با کمترین خطای سناریوی اعمالی را محاسبه نموده است. برای ناحیه سالم

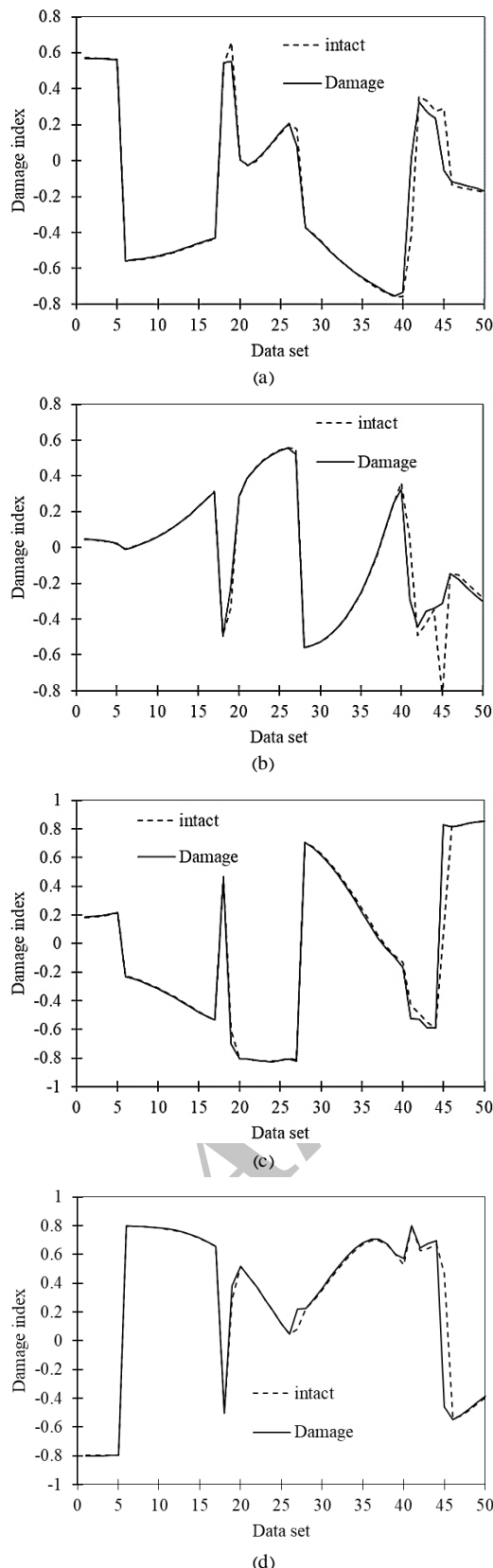


Fig. 7 تغییرات شاخص خرابی اندازه‌گیری شده برای سناریوی دوم در نقاط a)37 b)44 c)57 d)62

شکل 7 تغییرات شاخص خرابی اندازه‌گیری شده برای سناریوی دوم در نقاط 37(a)
62(d) 57(c) 44(b)

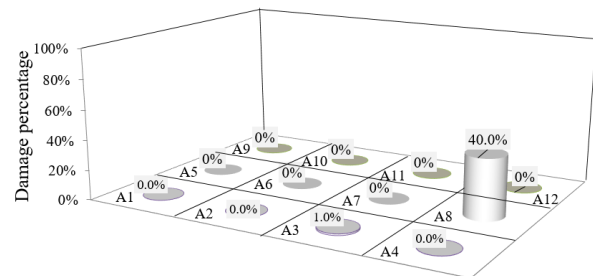


Fig. 4 calculated damage amount in first scenario by PSO algorithm

شکل 4 مقادیر خرابی محاسبه شده برای سناریوی اول توسط الگوریتم اجتماع ذرات

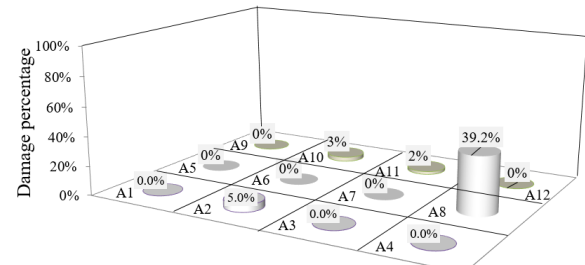


Fig. 5 calculated damage amount in first scenario by Genetic algorithm

شکل 5 مقادیر خرابی محاسبه شده برای سناریوی اول توسط الگوریتم ژنتیک

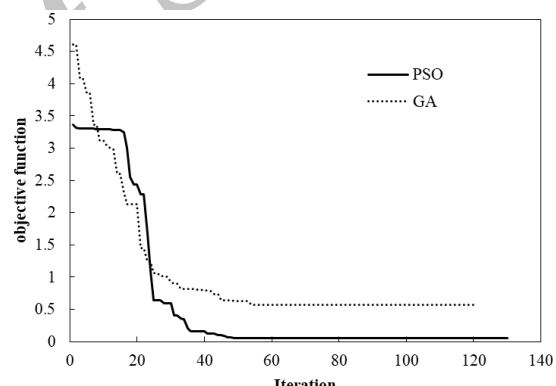


Fig. 6 convergence of objective function in optimization problem process in first scenario

شکل 6 نمودار نحوه همگرایی تابع هدف در فرآیند حل مسئله برای سناریوی اول

محاسبه شده است. در این سناریو نیز همانند سناریوهای قبلی، الگوریتم اجتماع ذرات از نرخ همگرایی بسیار بیشتری نسبت به ژنتیک برخوردار است، به طوری که در تکرار حدود 40 به عدد صفر همگرا شده و لی الگوریتم ژنتیک در تکرار 150 هم فاصله بیشتری با نقطه همگرایی دارد. نمودار همگرایی در "شکل 10" انعکاس یافته است.

3- سناریوی سوم

این سناریو برای ارزیابی عملکرد دو الگوریتم در حالتی که خرابی به صورت همزمان در سه ناحیه از سازه موردنظر باشد، طرح ریزی شده است. در این سناریو 12٪ خرابی در ناحیه شماره 4، 20٪ خرابی در ناحیه شماره 10 و 4٪ خرابی باشد. نمودار همگرایی 12 اعمال شده است. نحوه تغییرات شاخص‌های تعیین شده در نقاط برداشت پاسخ فرکانسی در "شکل 11" نشان داده شده است. در این سناریو الگوریتم اجتماع ذرات با 90 جمعیت و 120 تکرار نتایجی مطابق با "شکل 12" ارائه کرده است. در این سناریو نیز الگوریتم اجتماع ذرات هم در بحث مکانیابی، و هم در بحث تشخیص شدت خرابی،

بررسی قرار می‌گیرد.تابع پاسخ فرکانسی در برابر نویز، نسبت به دیگر

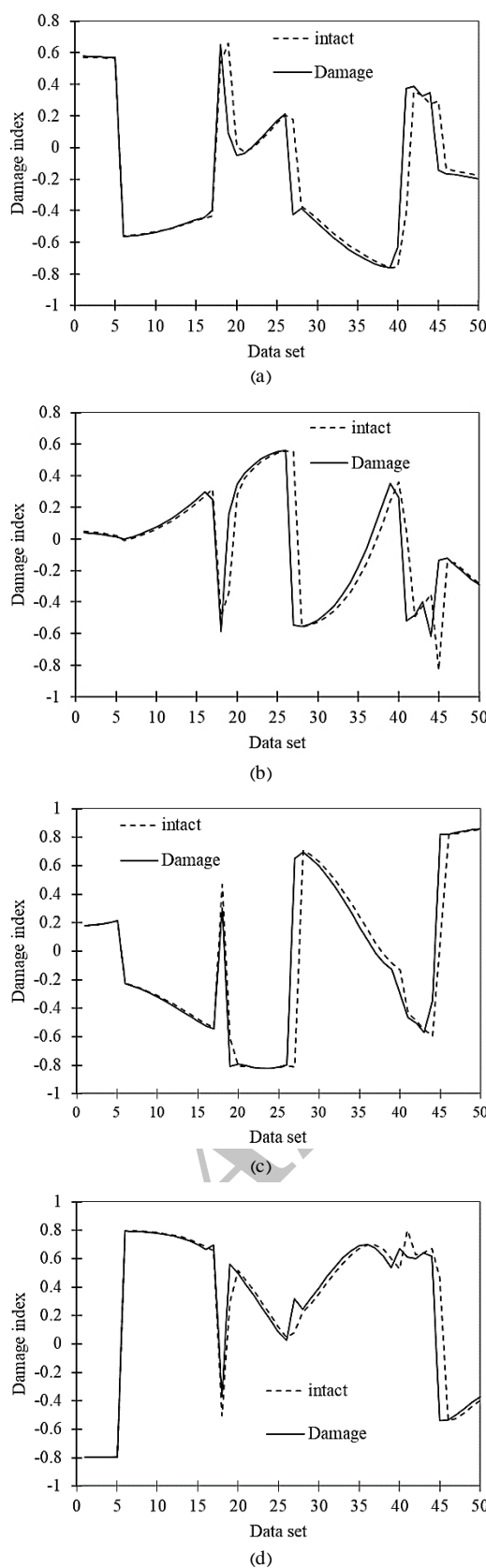


Fig. 11 variation of measured damage index for third scenario in nodes
a)37 b)44 c)57 d)62

شکل 11 تغییرات شاخص خرابی اندازه‌گیری شده برای سناریوی سوم در نقاط
37(a) 62(d) 57(c) 44(b)

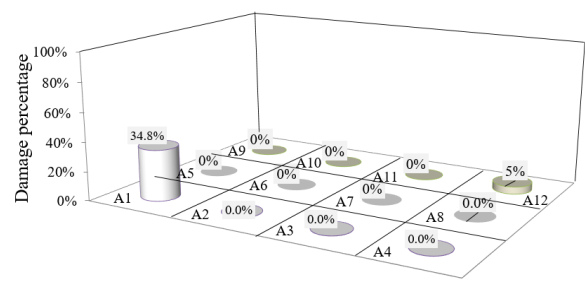


Fig. 8 calculated damage amount in second scenario by PSO algorithm
شکل 8 مقادیر خرابی محاسبه شده برای سناریوی دوم توسط الگوریتم اجتماع ذرات

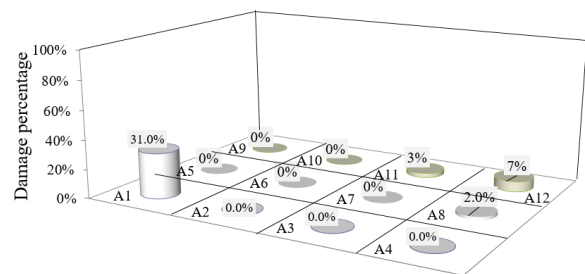


Fig. 9 calculated damage amount in second scenario by Genetic algorithm
شکل 9 مقادیر خرابی محاسبه شده برای سناریوی دوم توسط الگوریتم ژنتیک

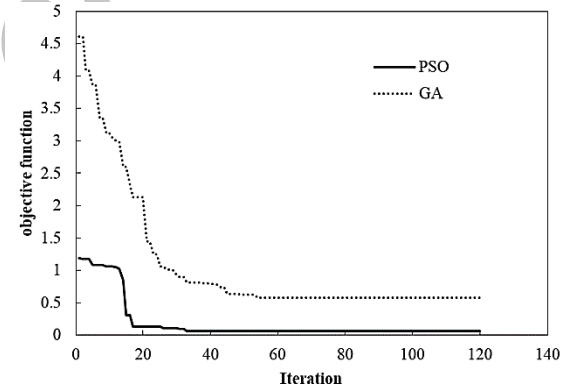


Fig. 10 convergence of objective function in optimization problem
process in second scenario

شکل 10 نمودار نحوه همگرایی تابع هدف در فرآیند حل مسئله برای سناریوی دوم

شماره 9 خرابی بالغ بر 2٪ محاسبه شده، که قابل صرف‌نظر کردن می‌باشد. به علاوه نتایج الگوریتم ژنتیک در این سناریو از دقت بسیار پایین‌تری برخوردار است، به طوری که شدت خرابی برای ناحیه 12 دقیقاً محاسبه شده است. برای ناحیه شماره 10 شدت خرابی به میزان 7٪ با میزان 0.7٪ با ارورد شده است، که میزان 0.5٪ بیشتری می‌باشد. برای سایر نواحی سالم نیز خرابی‌های مطابق با "شکل 13" محاسبه شده است، که حاکی از کاهش دقت الگوریتم ژنتیک در حل مسئله "شکل 14" می‌باشد. در این سناریو نیز همانند سناریوهای قبلی، با توجه به "شکل 14" الگوریتم اجتماع ذرات با شدت بیشتری به سمت صفر همگرا شده است، این در حالی است که الگوریتم ژنتیک با تعداد دفعات ارزیابی تابع هدف بیشتر و تکرار بیشتر، منجر به نتایج بهتری نشده است.

4-4- سناریوی چهارم

در این سناریو تأثیر نویزها و خطاهای در مرحله‌ی برداشت و پردازش داده مورد

